

文章编号: 0258-7025(2003)05-0395-03

# 高光束质量 $1.57 \mu\text{m}$ 的光参量振荡器

包照日格图, 周寿桓, 赵海霞, 裴博

(华北光电技术研究所, 北京 100015)

**摘要** 将渐变反射率镜(VRM)虚共焦非稳腔成功地应用于光参量振荡器(OPO), 在工作重复频率 20 Hz 时, 获得了能量 40 mJ, 光束发散角 4 mrad 的  $1.57 \mu\text{m}$  激光输出。

**关键词** 激光技术; 光参量振荡器; 变反射率镜; 共焦非稳腔

中图分类号 TN 248.1 文献标识码 A

## High Beam Quality $1.57 \mu\text{m}$ OPO

BAO Zhao-ri-ge-tu, ZHOU Shou-huan, ZHAO Hai-xia, PEI Bo

(North China Research Institute of Electro-Optics, Beijing 100015, China)

**Abstract** An output pulse energy of 40 mJ, repetition rate of 20 Hz at  $1.57 \mu\text{m}$  with the beam divergence of 4 mrad was obtained in an OPO by using VRM unstable resonator.

**Key words** laser technique; optical parametric oscillator (OPO); varied reflectivity mirror; confocal unstable resonator

## 1 引言

目前, 获得人眼安全激光的方法主要有拉曼频移激光器技术、铒玻璃激光器技术和 OPO 技术。拉曼频移需要借助高压气体( $\text{CH}_4$ )拉曼管才能实现, 激光器系统结构复杂, 可靠性差; 铒玻璃激光器是能够直接实现  $1.54 \mu\text{m}$  人眼安全激光输出的器件, 但铒玻璃是三能级激光系统, 振荡阈值高, 玻璃基质的抗激光损伤能力又很差, 很难实现兆瓦级的峰值功率运转; 通过 OPO 技术获得人眼安全激光输出, 因具有阈值低、转换效率高、全固体化等特点, 成为获得  $1.57 \mu\text{m}$  波长激光输出的最有效的方法。 $1.57 \mu\text{m}$  激光, 因具有人眼安全并且是大气窗口的特点, 较  $1.064 \mu\text{m}$  激光对烟雾有较强的穿透能力, 也有较为合适的探测器, 因而在激光预警、激光测距、激光跟踪等领域有巨大的应用潜力。研究初期, 为了降低抽运阈值, 提高输出能量, 多采用腔长较短的平行平面谐振腔或稳定谐振腔, 这就导致了 OPO 振荡光的发散角都非常大, 难以满足某些实际应用

的要求。提高 OPO 的光束质量, 已成为 OPO 研究的一个重要方向。我们在“九五”期间, 开展了一系列改善 OPO 光束质量的实验研究, 通过将虚共焦非稳腔技术应用于 OPO 谐振腔内, 在重复频率为 20 Hz 时, 获得了光束发散角为 10 mrad 的  $1.57 \mu\text{m}$  激光输出。之后, 为了消除硬边光阑的衍射效应对 OPO 光束质量的影响, 我们研究了具有渐变反射率镜(VRM)的虚共焦非稳腔 OPO<sup>[1,2]</sup>, 在重复频率 20 Hz 下, 获得了光束发散角为 4 mrad, 输出能量 40 mJ 的高光束质量 OPO 振荡光, 为提高 OPO 的光束质量提供了有效的技术途径。

## 2 变反镜虚共焦非稳腔设计

虚共焦非稳腔是一种较为理想的获得基横模输出方案, 它具有膜体积大, 可平面波输出的特点, 但由于硬边光阑的衍射效应, 使得近场光斑为环形, 能量不均匀, 远场产生衍射环, 能量分布分散。采用变反射输出镜<sup>[3,4]</sup>可以消除硬边光阑的衍射效应, 改

收稿日期: 2001-10-29; 收到修改稿日期: 2002-04-10

作者简介: 包照日格图(1974—), 男(蒙古族), 工程师, 博士, 现在北京华北光电技术研究所工作, 主要从事固体激光技术、光参量振荡器研究。E-mail: baokun2008@yahoo.com.cn

善激光光束质量。

VRM 的反射率径向分布多采用高斯型或超高斯型,即

$$R(r) = R_0 \exp[-2(r/w_m)^n] \quad (1)$$

式中  $R_0$  为最大反射率,  $r$  为径向距离,  $w_m$  为反射率降为最大反射率的  $1/e^2$  时的膜半径,  $n$  为超高斯函数阶数。由于随着  $n$  的增加, 反射率变化的锐度明显增加, 从而导致类似于硬边光阑对输出光束造成严重的衍射效应, 所以在本实验中  $n$  取值为 2。

VRM 虚共焦非稳腔除了具有其他非稳腔的几何偏折损耗和衍射损耗外, 还有输出镜不完全反射的输出损耗, 其往返损耗率为

$$\delta = 1 - R_0/M^2 \quad (2)$$

$$\bar{R} = \left( \int_0^a R(r) dr \right) / a \quad (3)$$

式中  $\bar{R}$  为渐变反射率镜平均反射率,  $a$  为渐变反射率镜的底半径,  $M$  为渐变反射率镜非稳腔的横向放大率, 在同等条件下,  $M$  与硬边输出镜非稳腔最佳放大率  $M'$  的关系为  $M^2 = M'^2 \bar{R}$ 。对于光参量振荡器, 由于其运转水平要受工作物质的有效非线性系数、适配角和走离效应的限制, 如果非稳腔的放大率  $M$  过大, OPO 将不能振荡, 所以  $M$  选为 1.25。

腔内光腰半径为

$$w_b = w_m (M^n - 1)^{1/n} \quad (4)$$

输出激光的光强近场表达式为

$$I_n(r) = I_n(0) \exp(-r^2/w_b^2) [1 - R(r)] \quad (5)$$

对式(6)求导可得到近场光强平顶分布的条件, 即

$$R_0 = 1/M^n \quad (6)$$

当确定了  $n, M, R_0, w_b$  以后, 可由式(4)来确定  $w_m$ 。

前后镜曲率半径  $R_1, R_2$  为

$$R_1 = -2L/(M-1) \quad (7)$$

$$R_2 = 2ML/(M-1) \quad (8)$$

当考虑工作物质的热透镜焦距  $f$  时, 全反镜的实际曲率  $R_2'$  由下式确定

$$\frac{1}{R_2'} = \frac{1}{R_2} - \frac{1}{f} \quad (9)$$

### 3 实验装置

图 1 为  $1.064 \mu\text{m}$  激光抽运的 KTP-OPO 的实验方案原理图。其中  $M_3$  为  $1.064 \mu\text{m}$  全反射平凹膜片, 曲率半径为  $2.5 \text{ m}$ ;  $M_2$  为  $1.064 \mu\text{m}$  高透,  $1.5 \sim 1.7 \mu\text{m}$  全反射凹凸膜片;  $M_1$  为  $1.57 \mu\text{m}$  变反射率,  $1.064 \mu\text{m}$  均匀反射凹凸膜片,  $1.57 \mu\text{m}$  变反膜, 其中心反射率设计为  $64\%$ ,  $2w_m = 6.0 \text{ mm}$ ,  $n = 2$ ; SP 为  $45^\circ 1.064 \mu\text{m}$  全反射和  $1.57 \mu\text{m}$  的高透过率膜片;  $P_c$  为普克尔盒;  $P$  为  $1.064 \mu\text{m}$  偏振片; Nd: YAG 的尺寸为  $\phi 6 \text{ mm} \times 75 \text{ mm}$ ; KTP 晶体 ( $\theta = 90^\circ, \phi = 0^\circ$ ) 的尺寸为  $7 \text{ mm} \times 7 \text{ mm} \times 20 \text{ mm}$ ; DUMP 为  $1.064 \mu\text{m}$  激光吸收器。 $M_1, M_2$  构成 OPO 激光谐振腔, 腔长  $100 \text{ mm}$ , 放大率  $1.25$ 。

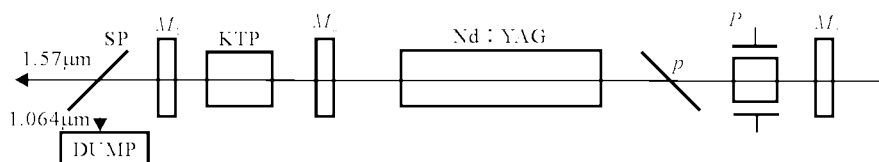


图 1  $1.57 \mu\text{m}$  KTP OPO 光路图

Fig. 1 Experimental setup of  $1.57 \mu\text{m}$  KTP OPO

图 2 为 OPO 的输出能量与电注入能量间的关系曲线。从图中可以看出, 随着电注入能量的增加 OPO 的输出能量趋于饱和。究其原因, 是由于镀膜技术的限制,  $1.57 \mu\text{m}$  变反膜的中心反射率偏高(测量值为  $R_0 = 77\%$ ), 腔内倍频光功率密度过大, 造成倍频光和闲频光重新复合为抽运光, 从而导致倍频光的输出能量的下降。图 3 为通过计算机模拟设计的  $1.57 \mu\text{m}$  波长反射率曲线。

因为本实验的目的是改善 OPO 的光束质量,

所以在激光效率方面没有达到最优化设计, 其总转换效率为  $1.7\%$ , 输出能量稳定性优于  $8\%$ 。

图 4 为具有 VRM 输出镜的  $1.57 \mu\text{m}$  激光的近场光斑, 其光斑尺寸为  $5 \text{ mm}$ , 测量位置为离滤光片 SP100 mm 处。图 5 为利用 TDS380 高频示波器观察到的  $1.57 \mu\text{m}$  激光波形, 近似为高斯形, 脉宽为  $7.8 \text{ ns}$ 。利用套孔法进行  $1.57 \mu\text{m}$  激光远场光束发散角的测量, 其发散角为  $4 \text{ mrad}$ 。其  $M^2$  因子, 利用公式  $M^2 = \pi w_0 \theta / 4\lambda$  来计算, 约为 10。

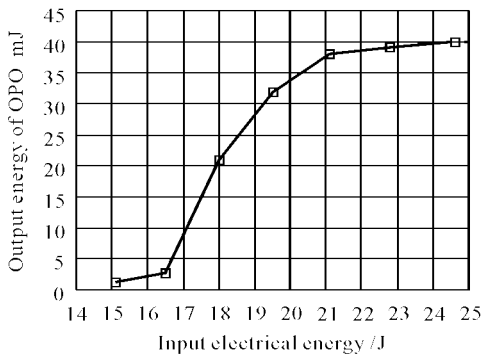


图 2 OPO 输出能量与电注入能量间的关系曲线

Fig. 2 Output energy of OPO vs input electrical energy

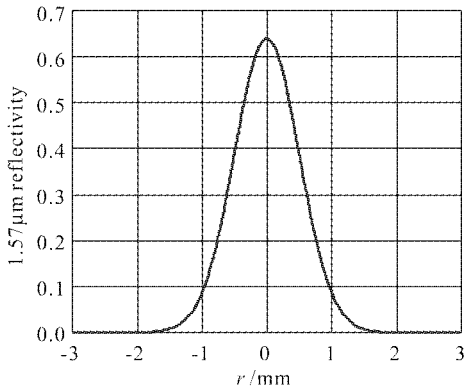
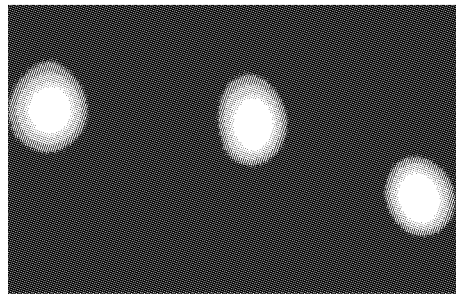
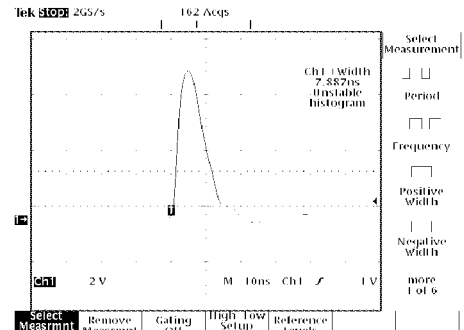
图 3 计算机模拟设计的  $1.57 \mu\text{m}$  波长反射率曲线Fig. 3 Calculated mirror reflectivity distribution  
at  $1.57 \mu\text{m}$ 图 4  $1.57 \mu\text{m}$  激光光斑(VRM)Fig. 4  $1.57 \mu\text{m}$  laser spot (VRM)

图 5 OPO 振荡光脉冲波形

Fig. 5 OPO pulse shape

## 4 结 论

利用具有变反射率输出镜的虚共焦非稳腔技术,显著地提高了OPO的光束质量,其光束发散角达到4 mrad,光束质量因子 $M^2$ 为10。但因镀膜技术的限制,OPO谐振腔还没有达到最优化的设计结果。除此之外,抽运光的光束质量,OPO腔长以及高重频工作状态下KTP晶体的热效应,也是影响OPO光束质量的重要因素。

## 参 考 文 献

- 1 William A. Neuman. Effect of cavity design on optical parametric oscillator performance [C]. *Advanced Solid-State Laser OSA*, 1996, **1**:179~181
- 2 Bao Zhaorigetu, Pei Bo.  $1.57 \mu\text{m}$  noncritical phase matching KTP optical parametric oscillator [J]. *Laser & Infrared* (激光与红外), 2001, **31**(5): 304~305 (in Chinese)
- 3 N. McCarthy, P. Lavigne. Large size Gaussian modes in unstable resonators using Gaussian mirrors [J]. *Opt. Lett.*, 1985, **10**(3):535~555
- 4 Suresh Chandra. Improved OPO brightness with a GRM non-confocal unstable resonator [C]. *Advanced Solid-State Laser OSA*, 1996, **1**:177~178